

ГОСУДАРСТВЕННЫЙ КОМИТЕТ РОССИЙСКОЙ ФЕДЕРАЦИИ

ПО ВЫСШЕМУ ОБРАЗОВАНИЮ

---

МОСКОВСКИЙ ГОСУДАРСТВЕННЫЙ СТРОИТЕЛЬНЫЙ УНИВЕРСИТЕТ

Кафедра отопления и вентиляции

ВЛАЖНОСТНЫЙ РЕЖИМ НЕОДНОРОДНОГО НАРУЖНОГО ОГРАЖДЕНИЯ

Методические указания и примеры расчетов

к курсовой работе по курсу Строительная теплофизика

(выпуск 4)

МОСКВА 2004

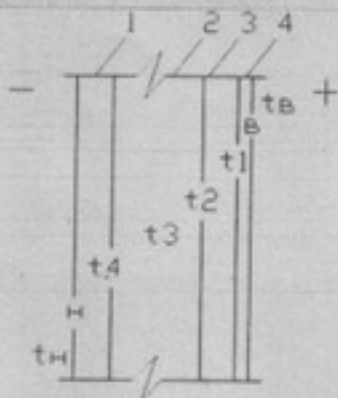
задача № 4

4.1. Требуется проверить возможность конденсации водяных паров на внутренней поверхности глади наружной стены и в наружном углу, а также в толще наружной стены.

4.1.1. Определяем распределение температуры по сечению стены при температуре наружного воздуха, равной средней температуре наиболее холодного

месяца - января  $t_H = t_я = -12^{\circ}\text{C}$  (так как влажностные

процессы происходят медленно):



$$t_B = t_B - \frac{R_B \cdot r}{R_0^\phi} (t_B - t_H) = 19 - \frac{1/8,7 \cdot 0,87}{2,69} (19 + 11,8) = 17,85^{\circ}\text{C}$$

$$t_1 = t_B - \frac{(R_B + R_4) \cdot r}{R_0^\phi} (t_B - t_H) = 19 - \frac{(1/8,7 + 0,02/0,76) \cdot 0,87}{2,69} \cdot 30,8 =$$

$$= 17,38^{\circ}\text{C}$$

$$t_2 = t_B - \frac{(R_B + R_4 + R_3) \cdot r}{R_0^\phi} (t_B - t_H) = 19 - \frac{(1/8,7 + 0,02/0,76 + 0,25/0,7) \cdot 0,87}{2,69} \cdot 30,8 =$$

$$= 14,04^{\circ}\text{C}$$

$$t_3 = t_H + \frac{(R_n + R_1 + R_2/2) \cdot r}{R_0^\phi} (t_B - t_H) = -11,8 + \frac{[1/23 + 0,12/0,58 + 0,15/(2 \cdot 0,064)] \cdot 0,87}{2,69} \cdot 30,8 = 2,36^{\circ}\text{C}$$

$$t_4 = t_n + \frac{(R_n + R_1) \cdot r}{R_0^\phi} (t_B - t_H) = -11,8 + \frac{(1/23 + 0,02/0,76) \cdot 0,87}{2,69} \cdot 30,8 = -11,11^{\circ}\text{C}$$

$$t_{n,n} = t_n + \frac{R_n r}{R_0^\phi} (t_B - t_H) = -11,8 + \frac{1/23 \cdot 0,87}{2,69} \cdot 30,8 = -11,37^{\circ}\text{C}$$

4.1.2. Соответствующие полученным температурам давления насыщения водяных паров определяем по прил. 4 Методического указания:  $E_B = 2197 \text{ Па}$ ;  $E_{n,n} = 2044 \text{ Па}$ ;  $E_1 = 1985 \text{ Па}$ ;  $E_2 = 1603 \text{ Па}$ ;  $E_3 = 725 \text{ Па}$ ;  $E_4 = 235 \text{ Па}$ ;  $E_{n,n} = 230 \text{ Па}$ ;  $E_n = 221 \text{ Па}$ .

4.1.3. Определяем парциальные давления водяных паров в наружном и внутреннем воздухе по формуле:

$$e = E \cdot \varphi$$

где  $\varphi$  - относительная влажность воздуха. В п. 1.2. определено, что  $\varphi_B = 55\%$ ;  $\varphi_H$

принимаем, исходя из того, что в районе с влажной зоной влажности  $\varphi_H = 95\%$ ;

в нормальной зоне влажности  $\varphi_H = 90\%$ ; в сухой зоне влажности  $\varphi_H = 85\%$ .

В нашем случае при нормальной зоне влажности  $\varphi_H = 90\%$ .

Тогда:  $e_B = E_B \cdot \varphi_B = 2197 \cdot 0,55 = 1208$  Па;  $e_H = E_H \cdot \varphi_H = 221 \cdot 0,9 = 199$  Па.

Сравниваем полученную величину  $e_n$  с взятой в п. 1.1. упругостью водяного пара наружного воздуха в самый холодный месяц -  $e_n = 2,5$  гПа = 250 Па = 0,25 кПа. Для дальнейшего расчета принимается большая из двух, но не превосходящая  $E_n$ :  $e_n = 221$  Па.

4.1.4. Находим температуру точки росы во внутреннем воздухе. Для этого по прил. 4 Методических указаний определим температуру, для которой найденное парциальное давление водяных паров  $e_B = 1208$  Па является давлением насыщения. При  $E = 1208$  Па  $t = 9,7$  °C. Таким образом, температура точки росы  $t_p = 9,7$  °C. Так как температура внутренней поверхности наружной стены  $t_b = 17,8$  °C и внутренней поверхности наружного угла  $t_y = 14,5$  °C при температуре наиболее холодной пятидневки выше, чем  $t_p = 9,7$  °C:

$$t_b = 17,8^\circ\text{C} > t_y = 14,5^\circ\text{C};$$

$$t_y = 14,5^\circ\text{C} > t_p = 9,7^\circ\text{C},$$

можно быть уверенным в том, что выпадения конденсата на этих поверхностях не будет.

4.1.5. Определяем сопротивление паропроницанию наружной стены по формуле:

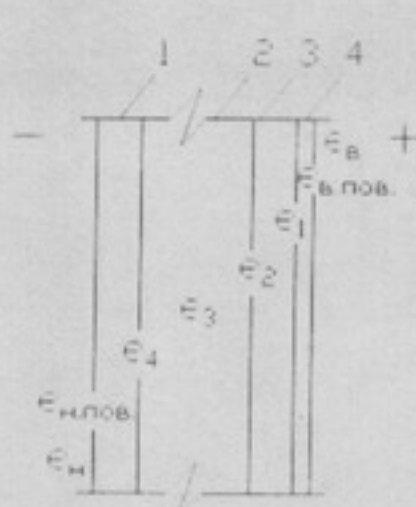
$$R_n = R_{n,B} + \sum \frac{\delta_i}{\mu_i} + R_{n,H} = 0,0267 + \frac{0,12}{0,14} + \frac{0,15}{0,49} + \frac{0,25}{0,11} + \frac{0,02}{0,09} + 0,0052 = 3,69$$

$$\frac{\text{м}^2 \cdot \text{ч} \cdot \text{Па}}{\text{МГ}},$$

и интенсивность потока водяного пара:

$$g = \frac{e_B - e_H}{R_n} = \frac{1208 - 221}{3,69} = 267,5 \text{ мг/м}^2 \cdot \text{ч}$$

4.1.6. Определяем распределение парциального давления водяных паров по сечению стены при температуре наружного воздуха, равной средней температуре января  $t_n = t_s = -11,8$  °C:



$$e_x = e_B - \frac{R_n \cdot x}{R_n} \cdot (e_B - e_H);$$

$$e_x = e_H + \frac{R_n \cdot x}{R_n} \cdot (e_B - e_H)$$

$$e_{B,n} = e_B - (R_{n,B}/R_n)(e_B - e_H) = 1208 - (0,0267/3,69)(1208 - 221) = 1201 \text{ Па;}$$

$$e_1 = e_B - \frac{R_{n,B} + R_{n,4}}{R_n} \cdot (e_B - e_H) = 1208 - \frac{0,0267 + 0,02/0,09}{3,69} \cdot 987 = 1141 \text{ Па;}$$

$$e_2 = e_B - \frac{R_{n,B} + R_{n,4} + R_{n,3}}{R_n} \cdot (e_B - e_H) = 1208 - \frac{0,0267 + 0,02/0,09 + 0,25/0,11}{3,69} \cdot 987 = 534 \text{ Па;}$$

$$e_3 = e_H + \frac{R_{n,H} + R_{n,1} + R_{n,2}/2}{R_n} \cdot (e_B - e_H) = 221 + \frac{0,0052 + 0,12/0,14 + 0,15/(2 \cdot 0,49)}{3,69} \cdot 987 = 492 \text{ Па;}$$

$$e_4 = e_H + \frac{R_{n,H} + R_{n,1}}{R_n} \cdot (e_B - e_H) = 221 + \frac{0,0052 + 0,12/0,14}{3,69} \cdot 987 = 452 \text{ Па;}$$

$$e_{H,n} = e_H + \frac{R_{n,H}}{R_n} \cdot (e_B - e_H) = 221 + \frac{0,0052}{3,69} \cdot 987 = 222 \text{ Па.}$$

Полученные результаты расчета сведем в таблицу:

Сечение	Температура, °C	Давление насыщения, Па	Парциальное давление, Па
внутренний воздух	19,0	2197	1208
внутренняя поверхность	17,85	2044	1201
1	17,38	1985	1141
2	14,04	1603	534
3	2,36	725	492
4	-11,11	235	452
наружная поверхность	-11,37	230	222
наружный воздух	-11,8	221	221

То, что в сечении между облицовочным кирпичом и утеплителем парциальное давление водяных паров превысило максимально возможную величину для соответствующей температуры (давления насыщения), свидетельствует о возможности конденсации водяных паров в толще ограждения (сечение 4: 452 Па > 235 Па). Вопрос о необходимости дополнительной пароизоляции с внутренней

стороны наружной стены должен быть решен на основе расчета на ЭВМ требуемых сопротивлений паропроницанию ограждения между внутренней поверхностью и плоскостью возможной конденсации.

По полученным в таблице данным постройте график распределения температур, парциальных давлений и давлений насыщения в сечении стены М 1:10, по температуре масштаб удобно принять таким, чтобы по вертикали график температуры занимал около 8-15 см. В нашем случае удобно принять в 1 см 5°C. По парциальному давлению удобно принять следующий масштаб: в 1 см 100 Па. Допустимо, чтобы графики температуры и парциальных давлений накладывались друг на друга. Можно каждый из трех графиков представить разными цветами.

4.2. Подготовьте исходные данные для расчета на ЭВМ требуемых сопротивлений паропроницанию ограждения между внутренней поверхностью и плоскостью возможной конденсации,  $m^2 \cdot \text{ч} \cdot Pa/mg$ , в соответствии со СНиП 23-02-2003

- из условия недопустимости накопления влаги в ограждающей конструкции за годовой период эксплуатации,  $R_{\pi 1, tp}$ ;
- из условия ограничения влаги в ограждающей конструкции за период с отрицательными среднемесячными температурами наружного воздуха,  $R_{\pi 2, tp}$ .

Ниже приведен пример диалога для ввода исходной информации при расчете требуемых сопротивлений паропроницанию, а так же его результаты. В диалоге галочками помечены строки ответов на запросы с дисплея, которые представляют собой строки без галочек.

В диалоге комментариев требуют следующие позиции:

-расчетная температура внутреннего воздуха помещений в теплый период года принимается на 3 °C выше температуры наружного воздуха по параметрам А:  
 $t_{A,T} = 22,4 \text{ °C}$  (п. 1.1. выпуска 1);

$$t_B = 22,4 + 3 = 25,4;$$

-расчетная влажность внутреннего воздуха в теплый период года принимается равной верхней границе допустимых условий по СНиП 2.04.05-91\* "Отопление, вентиляция и кондиционирование", то есть 65%;

- предельно допустимое приращение расчетного массового отношения влаги в утеплителе dwcp, %, принимается по таблице 12 СНиП 23-03-2003, воспроизведенной в Приложении к настоящему выпуску.

За диалогом представлены результаты расчета на ЭВМ.

Диалог:

Введите фамилию, курс, группу

<Малявина Е.Г., каф. ОВ

введите имя файла для записи результатов счета.

<Maljavin.res

Выберите из меню код для начала работы: ввод данных в диалоговом режиме - 1, расчет по данным, введенным в файл - 2.

<1

Введите наименование района строительства

<Нижний Новгород

Введите характеристики параметров наружного воздуха: -средние за месяц температуры, "С (12 чисел)

<11.8 -11.1 -506 4.2 12.0 16.4 18.4 16.9 11.0 3.6 -2.8 -8.9

-средние за месяц упругости водяного пара, "С (12 чисел)

<2.5 2.5 3.6 6.0 8.7 12.0 14.8 13.7 10.1 6.6 4.5 3.2

Введите характеристики параметров внутреннего воздуха в холодный и теплый периоды (по 2 числа) -расчетные температуры, "С

<19 25.4

-относительные влажности, %

<50 65

Введите характеристики ограждения:

-число слоев

<4

-для слоя 1 начиная с наружного, введите:

толщину, м; коэффиц. паропроницаемости, мг/м.ч.Па;

коэффиц. теплопроводности, Вт/м.С

<0.12 0.14 0.58

-для слоя 2 начиная с наружного, введите:

толщину, м; коэффиц. паропроницаемости, мг/м.ч.Па;

коэффициент теплопроводности, Вт/м.С

<0.15 0.3 0.064

-для слоя 3 начиная с наружного, введите:

толщину, м; коэффициент паропроницаемости, мг/м.ч.Па;

коэффициент теплопроводности, Вт/м.С

<0.25 0.11 0.7

-для слоя 4 начиная с наружного, введите:

толщину, м; коэффициент паропроницаемости, мг/м.ч.Па;

коэффициент теплопроводности, Вт/м.С

<0.02 0.09 0.76

плотность утеплителя, кг/куб.м

<100.

предельно допустимое приращение расчетного массового

отношения влаги в утеплителе dwcp, %

<3.

коэффициент теплотехнической однородности

< 0,87

Проверьте исходную информацию:

Район строительства

Нижний Новгород

Характеристики параметров наружного воздуха:

средние за месяц температуры, °С	-11.8-11.1	-5.0	4.2	12.0	16.4	
	18.4	16.9	11.0	3.6	-2.8	-8.9

средние за месяц упругости водяного пара	2.5	2.5	3.6	6.0	8.7	12.0
--	-----	-----	-----	-----	-----	------

гПа	14.8	13.7	10.1	6.6	4.5	3.2
-----	------	------	------	-----	-----	-----

Характеристики параметров внутреннего воздуха:

температура в холодный и теплый периоды, 19.0 25.4

относительная влажность в эти периоды, % 50.0 65.0

Характеристика ограждения:

число слоев	4
-------------	---

для каждого слоя, начиная с наружного, толщина, м;

коэффициент паропроницаемости, мг/м.ч.Па; коэффициент теплопроводности, Вт/м.°С

-для слоя 1	лицевой кирпич	0.12000	0.14000	0.58000
-------------	----------------	---------	---------	---------

-для слоя 2	минвата	0.15000	0.49000	0.06400
-------------	---------	---------	---------	---------

-для слоя 2 обычновенный глиняный кирпич	0.25000	0.11000	0.70000
-для слоя 3 внутренняя штукатурка	0.02000	0.09000	0.76000
плотность утеплителя, кг/куб.м	125.0		
предельно допустимое приращение расчетного массового отношения влаги в утеплителе			
dwcr,%	3.0		
коэффициент теплотехнич. однородности г	0.87		

#### Результаты расчета

Упругость водяного пара внутреннего воздуха, Па

-в холодный и переходный период года евх	1100.00
-в теплый период года еvt	2108.60
-в среднем за год ев	1520.25

Упругость водяного пара наружного воздуха, Па

-средняя за год, ен	735.00
-периода с отрицательными среднемесячными температурами, ено	326.00

#### Продолжительность

- периода влагонакопления zo, сут	152.
-зимнего периода z1, мес	3
-весенне-осеннего периода z2, мес	4
-летнего периода z3, мес	5

Средняя температура наружного воздуха, "С,

-периода влагонакопления tno	-7.92
-зимнего периода th1	-10.60
-весенне-осеннего периода th2	.00
-летнего периода th3	14.94

Средняя температура в плоскости возможной конденсации, "С

-периода влагонакопления to	-5.74
-зимнего периода t1	-8.20
-весенне-осеннего периода t2	1.54
-летнего периода t3	15.79

Давление насыщения водяных паров в плоскости возможной конденсации, Па

-периода влагонакопления Ео	393.14
зимнего периода Е1	322.92
-весенне-осеннего периода Е2	685.85
-летнего периода Е3	1775.07
-годового периода эксплуатации Е	1048.96

Сопротивление паропроницанию ограждения, кв.м\*ч\*Па/мг

-между наружной поверхностью и плоскостью возможной конденсации Rп.н	.86
-фактическое общее Rп.о	3.69
-фактическое между внутренней поверхностью и плоскостью возможной конденсации Rп.в	2.83

Требуемое сопротивление паропроницанию ограждения

между внутренней поверхностью и плоскостью

возможной конденсации, кв.м\*ч\*Па/мг

-из условия недопустимости накопления влаги в ограждающей конструкции за годовой период эксплуатации, Rп1,тр 1.29

-из условия ограничения влаги в ограждающей конструкции за период с отрицательными среднемесячными температурами наружного воздуха, Rп2,тр 3.05

#### Анализ результатов расчета

Общее сопротивление паропроницанию ограждения  $3,69 \text{ м}^2\text{ч}\text{Па/мг}$ , причем от внутренней поверхности до плоскости возможной конденсации  $2,83 \text{ м}^2\text{ч}\text{Па/мг}$ , что больше требуемого по первому условию недопустимости накопления влаги в ограждающей конструкции за годовой период ( $2,83 > 1,29$ ), но не достаточно для удовлетворения второго условия ограничения влаги в ограждении за период с отрицательными температурами ( $2,83 < 3,05$ ). Для увеличения сопротивления слоя от внутренней поверхности до плоскости возможной конденсации проектируем покрытие наружной стены между кирпичом и внутренней штукатуркой изольной мастикой. Сопротивление паропроницанию слоя мастики равно  $0,6 \text{ м}^2\text{ч}\text{Па/мг}$  (смотрите Приложение 4.2) ( $2,83 + 0,6 = 3,43 > 3,05 \text{ м}^2\text{ч}\text{Па/мг}$ ).

Приложение 4.1

Материал ограждающей конструкции	Предельно допустимое приращение расчетного массового отношения влаги в материале dwср, %
1. Кладка из глиняного кирпича и керамических блоков	1,5
2. Кладка из силикатного кирпича	2
3. Легкие бетоны на пористых заполнителях (керамзитобетон, шунгизитобетон, перлитобетон, пемзобетон и др.)	5
4. Ячеистые бетоны (газобетон, пенобетон, газосиликат и др.)	6
5. Пеногазостекло	1,5
6. Фибролит и арболит цементные	7,5
7. Минераловатные плиты и маты	3
8. Пенополистирол и пенополиуретан	25
9. Фенольно-резольный пенопласт	50
10. Теплоизоляционные засыпки из керамзита, шунгизита, шлака	3
11. Тяжелый бетон, цементно-песчаный раствор	2

Приложение 4.2

Сопротивление паропроницанию листовых материалов и тонких слоев пароизоляции

Материал	Толщина слоя, мм	Сопротивление паропроницанию Rп, м <sup>2</sup> .ч.Па/мг
1. Картон обыкновенный	1,3	0,016
2. Листы асбестоцементные	6	0,3
3. Листы гипсовые обшивочные (сухая штукатурка)	10	0,12
4. Листы древесно-волокнистые жесткие	10	0,11
5. Листы древесно-волокнистые мягкие	12,5	0,05
6. Окраска горячим битумом за один раз	2	0,3
7. Окраска горячим битумом за два раза	4	0,48
8. Окраска масляная за два раза с предварительной шпатлевкой и грунтовкой	-	0,64
9. Окраска эмалевой краской	-	0,48
10. Покрытие изольной мастикой за один раз	2	0,60
11. Покрытие битумно-кукерсольной мастикой за один раз	1	0,64
12. Покрытие битумно-кукерсольной мастикой за два раза	2	1,1
13. Пергамин кровельный	0,4	0,33
14. Полиэтиленовая пленка	0,16	7,3
15. Рубероид	1,5	1,1
16. Толь кровельный	1,9	0,4
17. Фанера kleеная трехслойная	3	0,15